

変動荷重を受けるはりの動的弾塑性解析

宮崎大学 工学部 太田 俊昭

1. 序言

本研究は、地震などの変動くり返し荷重を受ける鋼構造物の弾塑性応答に関する基礎理論を確立し、今後の耐震設計の一助にせんとしたもので、その骨子は、はりを実体に従った連続体と考え、D'Alembertの原理を用いて慣性力を一種の外的分布荷重と見做してそのモーメントに及ぼす影響量を求め、線型加速度法によって加速度および変形を一貫した行列解法で算定できるように試みたものである。その際、はりの復元力特性としては、直接 bilinear 型の応力-ひずみ曲線を採用し、解析に重要な力と変形の関係式すなわち、モーメント-曲率式には、先に著者が導いた曲率算定公式⁽¹⁾を準用した。

2. 仮定

本研究では、次の仮定を用いるものとする。

- 1) はりは等方性材料で、その応力-ひずみ曲線は、図-1のような bilinear 型の曲線で理想化する。(地震などの低い円振動数に対しては、十分実用的であるといふ文献⁽²⁾で認められている。)
- 2) 平面保持の法則が成立する。
- 3) せん断応力の影響を無視する。
- 4) 局部座屈および疲労破壊は生じないものとする。

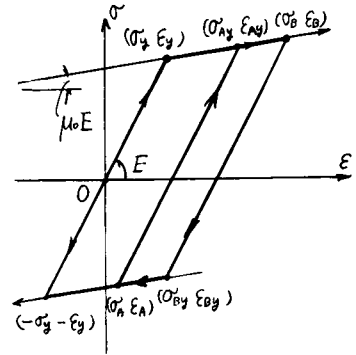


図-1

3. 曲げモーメントと曲率

先に著者は、任意の変動軸力と曲げモーメントの組合せ荷重を受けるはりの曲率算定式を誘導した(かゝり、はりの動的挙動を解明する場合特に後述の線型加速度法では、既知数が曲率φで、未知数が曲げモーメントMとなるため、上記曲率算定式(既知数M, N, 未知量φ)を若干修正する必要がある。途中の誘導手法は同一であるので重複をさけるため要点のみを列記する。

はりの断面の微小要素kに生ずるひずみ ϵ_k と応力 σ_k ($k=1, 2, \dots$)は

$$\begin{aligned} \epsilon_k &= (1 - y_k/h) \epsilon_e + (y_k/h) \epsilon_u \\ \sigma_k &= \nu_k \{ (1 - y_k/h) \epsilon_e + (y_k/h) \epsilon_u - \epsilon_k^* \} \end{aligned} \quad (1)$$

ただし、 ϵ_u, ϵ_e : 上, 下縁のひずみ、 y_k : 微小要素kを代表する高さ、 h : 断面高さ、 ν_k, ϵ_k^* : 文献⁽¹⁾参照。

一方、曲げモーメントと軸力は

$$\begin{pmatrix} 0 & 1 \\ 1 & -d/h \end{pmatrix} \begin{pmatrix} M \\ N \end{pmatrix} = \begin{pmatrix} \int \sigma dA_0 \\ -\int \sigma y dA_0 \end{pmatrix} \quad (2)$$

$$\text{また、曲率 } \phi \text{ は } \phi = (\epsilon_e - \epsilon_u)/h \quad (3)$$

式(2)に式(1)を代入のうえ、 ϵ_e, ϵ_u について解く。結果を式(3)の右辺に代入すれば、曲率算定式が次式で求められる。

$$\bar{\phi} = F_{11} \bar{M} + F_{12} \bar{N} + G_1 \quad \text{--- (4)}$$

ただし $\bar{\phi} = \phi/\phi_0$, $\bar{M} = M/M_0$, $\bar{N} = N/N_0$, M_0, ϕ_0 : 純曲げか一桁の場合の動的降伏曲げモーメントと曲げ
 $N_0 = \sigma_y A_0$, σ_y : 動的降伏応力, A_0 : 断面積, F_{11}, F_{12}, G_1 : 応力状態に依り, 文献(1)参照.

式(4)を変形してモーメントの算定式を求めれば, 次のようになる.

$$\bar{M} = (\bar{\phi} - F_{12} \bar{N} - G_1) / F_{11} \quad \text{--- (5)}$$

4. はりの動的弾塑性解析

図-2に示すはりが, 動的外力 q を受けて弾塑性変形を生じたと仮定する. はりの単位長さ当りの質量を m , はりに垂直方向のたわみを y , さらに軸方向に x 軸をとれば, D'Alembert の原理より, はりに生ずる曲げモーメントは, 慣性力 $p = -m\ddot{y}$ の影響を考慮して

$$\frac{d^2 M}{dx^2} = -(p + \bar{q}) \quad \text{または} \quad M = -\iint (p + \bar{q}) dx^2 \quad \text{--- (6)}$$

ここではりを n 等分割して, 分割点 j ($j=1, 2, \dots, n+1$) の M, p および \bar{q} をそれぞれ M_j, p_j および \bar{q}_j とする. これらの M_j, p_j および \bar{q}_j のうち, 独立した諸量を一括して, それぞれ列ベクトル M, p および \bar{q} で表わせば

$$M = R_M \begin{pmatrix} M_1 \\ M_2 \\ \vdots \\ M_{n+1} \end{pmatrix}, \quad p = R_p \begin{pmatrix} p_1 \\ p_2 \\ \vdots \\ p_{n+1} \end{pmatrix}, \quad \bar{q} = R_{\bar{q}} \begin{pmatrix} \bar{q}_1 \\ \bar{q}_2 \\ \vdots \\ \bar{q}_{n+1} \end{pmatrix} \quad \text{--- (7)}$$

ただし $R_M, R_p, R_{\bar{q}}$ は, 独立でない値を除去する行列.

式(6), (7) から, スパン長を l として

$$M = (\alpha_p P + \alpha_{\bar{q}} \bar{q}) l^2 \quad \text{--- (8)}$$

ここで 慣性力 p は

$$p = -m \ddot{y} = -\alpha_s m_s \bar{m} \ddot{y} \quad \text{--- (9)}$$

ただし \bar{m} は質量比 m/m_0 に関する対角行列, $\ddot{y} = \ddot{y}/\alpha_s$, α_s, m_s : 基準と対加速度と質量,
 式(9)を式(8)に代入し, M_0 で除せば, 次式がえられる.

$$\bar{M} = \kappa (-\alpha_p \bar{m} \ddot{y} + \alpha_{\bar{q}} \bar{q}) \quad \text{--- (10)}$$

ただし $\kappa = m_0 \alpha_s l^2 / M_0$, $\bar{q} = \bar{q} / m_0 \alpha_s$, $\bar{M} = M / M_0$, $\alpha_p, \alpha_{\bar{q}}$: 分割数に依り定まる係数行列.

次に任意点 x のたわみ y は, ϕ -法公式⁽¹²⁾を用いて

$$y = x \theta_n - \int_0^x \phi(x-s) ds, \quad \theta_n = \int_0^l \phi ds / l \quad (\text{単純はりの場合}), \quad \theta_n = 0 \quad (\text{片持はりの場合}) \quad \text{--- (11)}$$

式(11)を行列表示して次式をえる.

$$y = l^2 \alpha \phi \quad \text{--- (12)}$$

ここに y および ϕ は, 式(7)と同様な行列 R_y および R_ϕ を用いて

$$y = R_y \begin{pmatrix} y_1 \\ y_2 \\ \vdots \\ y_{n+1} \end{pmatrix}, \quad \phi = R_\phi \begin{pmatrix} \phi_1 \\ \phi_2 \\ \vdots \\ \phi_{n+1} \end{pmatrix}$$

ただし α は, 分割数に依り定まる係数行列である.

はりの固有円振動数を ω_n とし, 式(12)を静的たわみ $y_s = \alpha_s / \omega_n^2$ で除いて無次元化する.

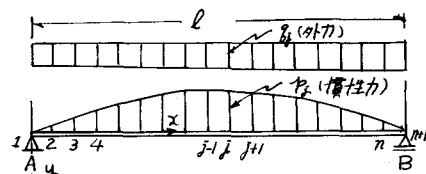


図-2

$$\bar{y} = \frac{y}{y_s} = \phi_0 l^2 / y_s \cdot a \bar{\phi} = \eta a \bar{\phi} \quad \text{--- (13)}$$

∴ (13) $\eta = \phi_0 l^2 / y_s = M y l^2 / E I y_s$, $\bar{\phi} = \bar{\Phi} / \phi_y$

∴ (13) 弾性曲率を ϕ^e とし、塑性曲率を ϕ^p とすれば、曲率 ϕ は

$$\bar{\phi} = \bar{\phi}^e + \bar{\phi}^p = \bar{M} + \bar{\phi}^p \quad \text{--- (14)}$$

∴ (13) $\bar{\phi}^p = \bar{\phi} - \bar{M}$

で与えられる。(14) から (13) は次のように変形される。

$$\bar{y} = \eta a (\bar{M} + \bar{\phi}^p)$$

さらに上式に (10) を代入して

$$\begin{aligned} \bar{y} &= -\eta \kappa a \alpha_p \bar{m} \bar{y} + \eta \kappa a \alpha_p \bar{y} + \eta a \bar{\phi}^p \\ &= -S(K_p \bar{y} + K_g \bar{y}) + \eta a \bar{\phi}^p \end{aligned}$$

$$\therefore \bar{y} = -\frac{1}{S} A \bar{y} + B \bar{y} + \frac{1}{\kappa} C \quad \text{--- (15)}$$

∴ (15) $K_p = a \alpha_p \bar{m}$, $K_g = a \alpha_g$, $A = K_p$, $B = A K_g$, $C = A a \bar{\phi}^p$, $S = \eta \kappa$.

(15) 時刻 i のため、速度および加速度をそれぞれ y_i , \dot{y}_i および d_i で表わし、微小時間間隔を t_0 とすれば、時刻 $i+1$ のため y_{i+1} と速度 \dot{y}_{i+1} は、線型加速度法⁴⁾ によって次のように表わされる。

$$\left. \begin{aligned} y_{i+1} &= y_i + \dot{y}_i t_0 + \frac{t_0^2}{2} d_i + \frac{t_0^3}{6} d_{i+1} \\ \dot{y}_{i+1} &= \dot{y}_i + t_0 d_i + \frac{t_0}{2} d_{i+1} \end{aligned} \right\} \quad \text{--- (16)}$$

$$\left. \begin{aligned} \text{あるいは } y_{i+1} &= y_i + t_0 \dot{y}_i + \frac{t_0^2}{3} d_i + \frac{t_0^3}{6} d_{i+1} \\ \dot{y}_{i+1} &= \dot{y}_i + \frac{t_0}{2} d_i + \frac{t_0}{2} d_{i+1} \end{aligned} \right\} \quad \text{--- (17)}$$

式(17)を y_s および $\bar{y}_s = d_i / \omega_0$ で除く(無次元化する)。すなわち、

$$\left. \begin{aligned} \bar{y}_{i+1} &= \bar{y}_i + 2\pi \bar{t}_0 \bar{\dot{y}}_i + \frac{4\pi^2 \bar{t}_0^2}{3} \bar{d}_i + \frac{2\pi^2 \bar{t}_0^3}{3} \bar{d}_{i+1} \\ \bar{\dot{y}}_{i+1} &= \bar{\dot{y}}_i + \pi \bar{t}_0 \bar{d}_i + \pi \bar{t}_0 \bar{d}_{i+1} \end{aligned} \right\} \quad \text{--- (18)}$$

∴ (18) $\bar{t}_0 = t_0 / \tau_0$, $\bar{T}_0 = 2\pi / \omega_0$ はりの固有周期

一方、時刻 $i+1$ における加速度 \bar{d}_{i+1} は、式(15)から次のように求められる。

$$\bar{d}_{i+1} = -\frac{1}{S} A \bar{y}_{i+1} + B \bar{\dot{y}}_{i+1} + \frac{1}{\kappa} C_{i+1} \quad \text{--- (19)}$$

式(18)に式(18)の右1式を代入して

$$\bar{d}_{i+1} = -\frac{1}{S} A (\bar{y}_i + 2\pi \bar{t}_0 \bar{\dot{y}}_i + \frac{4\pi^2 \bar{t}_0^2}{3} \bar{d}_i + \frac{2\pi^2 \bar{t}_0^3}{3} \bar{d}_{i+1}) + B \bar{\dot{y}}_{i+1} + \frac{1}{\kappa} C_{i+1}$$

上式を整理すれば

$$(I + \frac{2\pi^2 \bar{t}_0^3}{3S} A) \bar{d}_{i+1} = -\frac{1}{S} A (\bar{y}_i + 2\pi \bar{t}_0 \bar{\dot{y}}_i + \frac{4\pi^2 \bar{t}_0^2}{3} \bar{d}_i) + B \bar{\dot{y}}_{i+1} + \frac{1}{\kappa} C_{i+1}$$

∴ (19) $D = I + (2\pi^2 \bar{t}_0^3 / 3S) A$ (I : 単位行列) とおき、加速度 \bar{d}_{i+1} を求めれば、結局次式で与えられる。

$$\bar{d}_{i+1} = -\frac{1}{S} D^{-1} A (\bar{y}_i + 2\pi \bar{t}_0 \bar{\dot{y}}_i + \frac{4\pi^2 \bar{t}_0^2}{3} \bar{d}_i) + D^{-1} B \bar{\dot{y}}_{i+1} + \frac{1}{\kappa} D^{-1} C_{i+1} \quad \text{--- (20)}$$

以上から、誘導式(5), (13), (18)および式(20)を用いて与荷重 g に対するはりの弾塑性応答が次のようにして説明できることになる。

すなわち、前の時刻 i のため \bar{y}_i と速度 \bar{v}_i および加速度 \bar{a}_i が分っているものとすれば、式(13)から曲率 $\bar{\phi}_i = a^{-1}\bar{y}_i/\eta$ が求られ、これを式(5)に代入して曲げモーメント \bar{M}_i (たがって塑性曲率 $\bar{\phi}_i^* = \bar{\phi}_i - \bar{M}_i$)が求められる。これを式(20)の C_{i+1} の近似値として \bar{a}_{i+1} を計算し、式(18)からため \bar{y}_{i+1} および速度 \bar{v}_{i+1} を算定する。えられた \bar{y}_{i+1} の近似値を用いて曲率 $\bar{\phi}_{i+1}$ を求め、式(20), (18)の一連の計算を進め、 \bar{y}_{i+1} を再度算出する。以下同様の計算をくり返し収束せよ。(実際には、 C_{i+1} のため i に及ぼす効果は、 τ_0 倍減じたため、($\tau_0 = 0.001$ 以下にとれば)ほとんど無視できる)。

他方、加速度とためとの関係を定める別の方法として、Miln's Method と差分法^④とがある。Miln's Method の場合は、式(16)に代るものとして

$$\left. \begin{aligned} \bar{v}_{i+1} &= \frac{4}{3}\tau_0(2\bar{a}_i - \bar{a}_{i+1} + 2\bar{a}_{i-2}) + \bar{v}_{i-3} \\ \bar{y}_{i+1} &= \frac{4}{3}\tau_0(2\bar{v}_i - \bar{v}_{i-1} + 2\bar{v}_{i-2}) + \bar{y}_{i-3} \end{aligned} \right\} \text{--- (21)}$$

よって式(18)に相当する式は

$$\left. \begin{aligned} \bar{v}_{i+1} &= \frac{8\tau_0^2}{3}(2\bar{a}_i - \bar{a}_{i+1} + 2\bar{a}_{i-2}) + \bar{v}_{i-3} \\ \bar{y}_{i+1} &= \frac{8\tau_0^2}{3}(2\bar{v}_i - \bar{v}_{i-1} + 2\bar{v}_{i-2}) + \bar{y}_{i-3} \end{aligned} \right\} \text{--- (22)}$$

一方の差分法による場合は、次のようになる。

$$\left. \begin{aligned} \bar{v}_{i+1} &= \frac{1}{\tau_0}(y_{i+1} - y_i) \\ y_{i+1} &= 2y_i - y_{i-2} + \tau_0^2 \bar{a}_i \end{aligned} \right\} \text{--- (23)}$$

$$\left. \begin{aligned} \bar{v}_{i+1} &= \frac{1}{2\tau_0}(Y_{i+1} - Y_i) \\ Y_{i+1} &= 2Y_i - Y_{i-2} + 4\tau_0^2 \bar{a}_i \end{aligned} \right\} \text{--- (24)}$$

5. 単純はり

一様な矩形断面をもつ単純はりから、動的分布荷重 $g = 2g_0 e^{-t/\tau_0}$ を受けるとき、

はりの示す動的弾塑性性を説明してみよう。

たがって $\tau_0 = \tau/2$, $g_0 = 8M_{ps}/l^2$ で M_{ps} は静的塑性モーメントである。

いま、はりを $n=10$ に等分割し、式(8), (13)の係数行列 α_p および α_g を台形公式を用いて求めれば、図-3から対称条件を考慮して

$$\alpha_p = a - \frac{1}{600} \begin{pmatrix} 5 & 6 & 6 & 6 & 3 \\ 6 & 11 & 12 & 12 & 6 \\ 6 & 12 & 17 & 18 & 9 \\ 6 & 12 & 18 & 23 & 12 \\ 6 & 12 & 18 & 24 & 14 \end{pmatrix}, \alpha_g = \frac{1}{600} \begin{pmatrix} 1 & 5 & 6 & 6 & 3 \\ 1 & 6 & 11 & 12 & 6 \\ 1 & 6 & 12 & 17 & 9 \\ 1 & 6 & 12 & 18 & 12 \\ 1 & 6 & 12 & 18 & 14 \end{pmatrix}$$

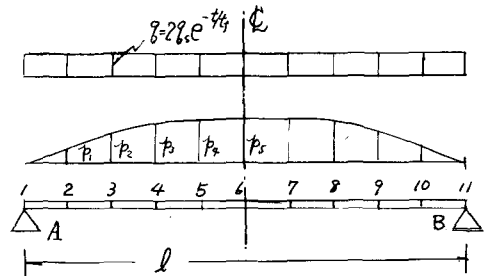


図-3

ここにモーメント \bar{M} , 外力 \bar{f} , 曲率 $\bar{\phi}$, たわみ \bar{y} , 速度 \bar{v} および加速度 \bar{a} は

$$\bar{M} = \begin{bmatrix} \bar{M}_2 \\ \bar{M}_3 \\ \vdots \\ \bar{M}_6 \end{bmatrix}, \bar{\phi} = \begin{bmatrix} \bar{\phi}_2 \\ \bar{\phi}_3 \\ \vdots \\ \bar{\phi}_6 \end{bmatrix}, \bar{f} = \begin{bmatrix} \bar{f}_1 \\ \bar{f}_2 \\ \vdots \\ \bar{f}_6 \end{bmatrix} = e^{-\alpha t} \begin{bmatrix} 1 \\ 1 \\ \vdots \\ 1 \end{bmatrix}, \bar{y} = \begin{bmatrix} \bar{y}_2 \\ \bar{y}_3 \\ \vdots \\ \bar{y}_6 \end{bmatrix}, \bar{v} = \begin{bmatrix} \bar{v}_2 \\ \bar{v}_3 \\ \vdots \\ \bar{v}_6 \end{bmatrix}, \bar{a} = \begin{bmatrix} \bar{a}_2 \\ \bar{a}_3 \\ \vdots \\ \bar{a}_6 \end{bmatrix}$$

また、仮定により、ほりの質量は一定 $m = m_s \therefore \bar{m} = \mathbf{I}$ となり、式(15)の K_p は $K_p = \alpha \bar{a}_p$ とする。さらに $\alpha_s = f_s/m_s$ とおき、かつ固有円振動数 $\omega_s = \sqrt{C_0 EI/m_s l^4}$ ($C_0 = 987$) を用いて式(10)の κ , 式(13)の γ および式(15)の S を算出すれば、次のようになる。

$$\kappa = \frac{f_s l^2}{M_p} = 8 \frac{M_{ps}}{M_p} \frac{M_p}{M_g} = 8 f_s f$$

したがって $f_s = \frac{M_{ps}}{M_p}$, $f = \frac{M_p}{M_g}$ によりは $f_s = 1, f = 15$ と仮定した。

$$\gamma = \frac{M_g l^2}{EI_s y_s} = \frac{M_g}{8 M_{ps}} \frac{m_s \omega_s^2 l^4}{EI} = \frac{C_0^2}{8 f f_s}$$

$$\therefore S = \kappa \gamma = C_0^2$$

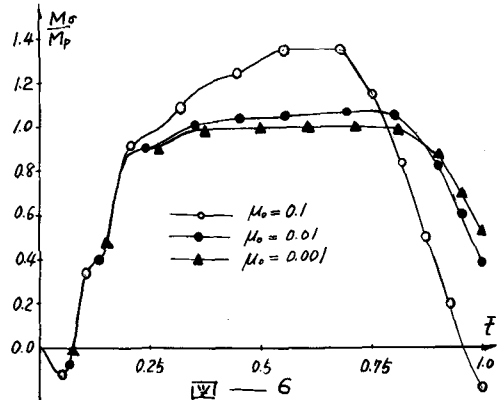
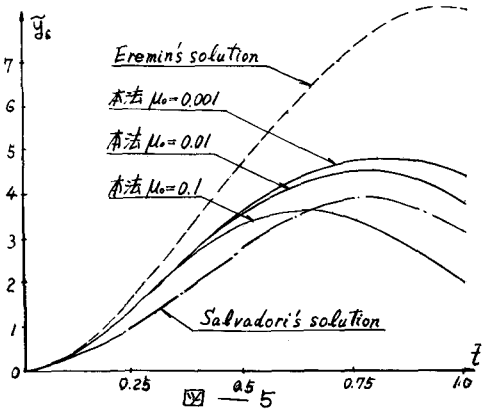
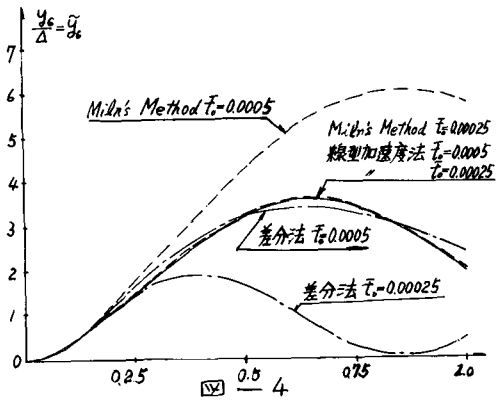
以上の諸量を用いて、時間間隔を $\bar{t}_0 = 0.00025, 0.0005$ にとり、 $\bar{t} = 0 \sim 1.0$ まで変化させて計算を行った。

図-4は、歪硬化を表わすパラメータ μ_0 を $\mu_0 = 0.1$ とおいて中央点のたわみ $\bar{y}_5 = y_5/l_5$ (l_5 は f_5 による中央点の静的たわみ) を図示したものである。

図中の実線は線型加速度法、点線および一点鎖線は、Miln's Method および差分法により求めた値である。

この図から、線型加速度法による場合が最も収束が早く、差分法による場合が最悪であることが看取される。その原因は、 $\bar{t} = 0.0005$ では、Miln's Method および差分法による場合には、モーメント値が振動して収束せず、その誤差が累積されて、たわみ誤差として現れたものと考えられる。

次に、図-5の実線は、本法による解 ($\bar{t}_0 = 0.0005, \mu_0 = 0.1, 0.01, 0.001$) y_5 である。



あり、また点線は Eremín⁵⁾により求められた差分法による解(集中 Mass)であり、一実線は剛塑性体を仮定した Salvadori の解⁶⁾である。

本法と他の解法とは、定性的にはほぼ合致するが、定量的には、弾性限界までは一致するも、それ以降はかなりの開きがあることが判読される。

その理由は、他解法が 1) 歪硬化現象を無視していること、2) モーメントと曲率の関係式が近似式であること、3) 集中 Mass の概念を採用していること、4) 拘束性の良く無い差分法を採用していること、などが数えられる。

なお、図-6 は、同じはりの中央点のモーメント M_0 の時間的变化を円示したものである。

6. 片持はり

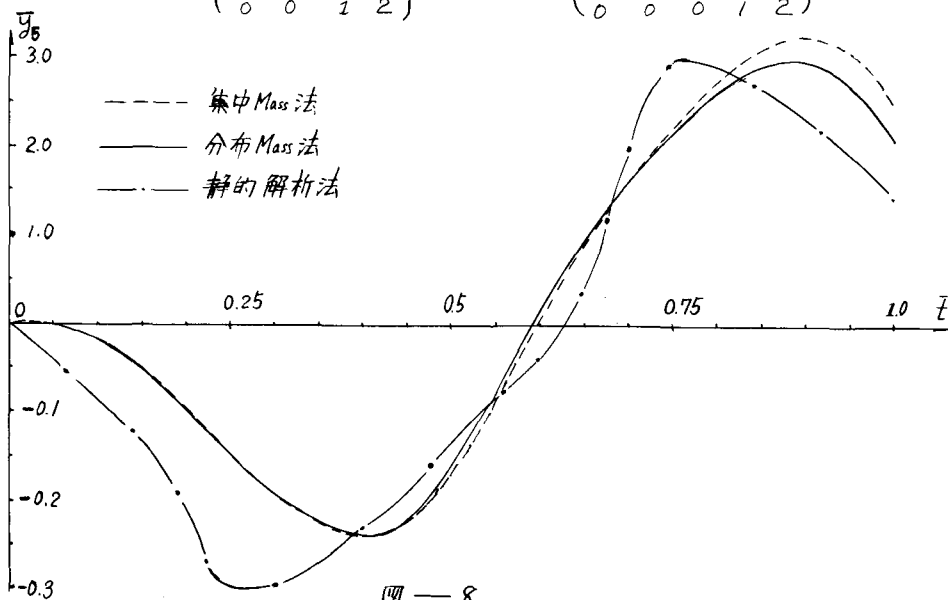
図-7 に示す一様な正方形断面を有する片持はり AB の支持端 A が、加速度 $d_s = d_s \sin \omega t$ を生じたとする。

このときのはりの示す弾塑性応答を明らかにすれば、次のとおりである。

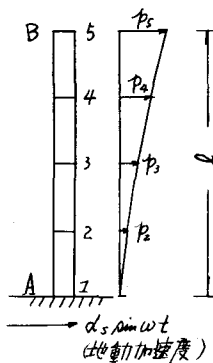
ただし $d_s = 2M_{ps} / m_s l^2$, $\xi_s = m_s d_s$, $\omega = 0.5 \omega_0$ とし、歪硬化を表わす μ_0 は 0.01 とする。

ここで、はりを簡単のため $n=4$ 等分割し、式(8)、(B)の係数行列 d_p, d_g を求めれば、それぞれ

$$d_p = a = \frac{-1}{96} \begin{pmatrix} 6 & 12 & 18 & 11 \\ 1 & 6 & 12 & 8 \\ 0 & 1 & 6 & 5 \\ 0 & 0 & 1 & 2 \end{pmatrix}, \quad d_g = \frac{-1}{96} \begin{pmatrix} 1 & 6 & 12 & 18 & 11 \\ 0 & 1 & 6 & 12 & 8 \\ 0 & 0 & 1 & 6 & 5 \\ 0 & 0 & 0 & 1 & 2 \end{pmatrix}$$



四 — 8



四 — 7

また、 \bar{M} , $\bar{\Phi}$, $\bar{\delta}$, \bar{y} , \bar{v} および $\bar{\alpha}$ は、図-7を参照して

$$\bar{M} = \begin{bmatrix} \bar{M}_1 \\ \bar{M}_2 \\ \bar{M}_3 \\ \bar{M}_4 \end{bmatrix}, \quad \bar{\Phi} = \begin{bmatrix} \bar{\Phi}_1 \\ \bar{\Phi}_2 \\ \bar{\Phi}_3 \\ \bar{\Phi}_4 \end{bmatrix}, \quad \bar{\delta} = \begin{bmatrix} \bar{\delta}_1 \\ \bar{\delta}_2 \\ \bar{\delta}_3 \\ \bar{\delta}_4 \\ \bar{\delta}_5 \end{bmatrix} = \sin \pi \bar{t} \begin{bmatrix} 1 \\ 1 \\ 1 \\ 1 \\ 1 \end{bmatrix}, \quad \bar{y} = \begin{bmatrix} \bar{y}_2 \\ \bar{y}_3 \\ \bar{y}_4 \\ \bar{y}_5 \end{bmatrix}, \quad \bar{v} = \begin{bmatrix} \bar{v}_2 \\ \bar{v}_3 \\ \bar{v}_4 \\ \bar{v}_5 \end{bmatrix}, \quad \bar{\alpha} = \begin{bmatrix} \bar{\alpha}_2 \\ \bar{\alpha}_3 \\ \bar{\alpha}_4 \\ \bar{\alpha}_5 \end{bmatrix}$$

さらに、片持はりの固有円振動数 $\omega_0 = \sqrt{C EI / m_s l^4}$ ($C = 3.515$) を用いて κ , γ および S を算定すれば、それぞれ次の値となる。

$$\kappa = 2 \frac{M_{ps}}{M_f} = 2 f_s f, \quad \gamma = \frac{M_y l^2}{EI y_s} = \frac{C^2}{2 f_s f}$$

$$\therefore S = \kappa \gamma = C^2$$

以上から、時間間隔を $\bar{t} = 0.0005$ にとり、 $\bar{t} = 0 \sim 1.0$ (1周期) まで変化させて計算を行った。結果の一部を示せば図-8 および図-9 のようになる。

図-8の実線は、本法によるたわみ値で、点線は集中Massによる値である。

集中Massによる誤差は、 $\bar{t} = 1.0$ で約 20% であり、その差は周期が増すと累積増大する傾向にある。

また、一点鎖線は、くり返し荷重 $P = P_0 \sin \omega t$ を静的に加えたときのたわみ値であり、動的な場合との差は、 $\bar{t} = 1.0$ で 60% に達する。

なお、図-9は、固定端の曲げモーメントの変化を示したものである。

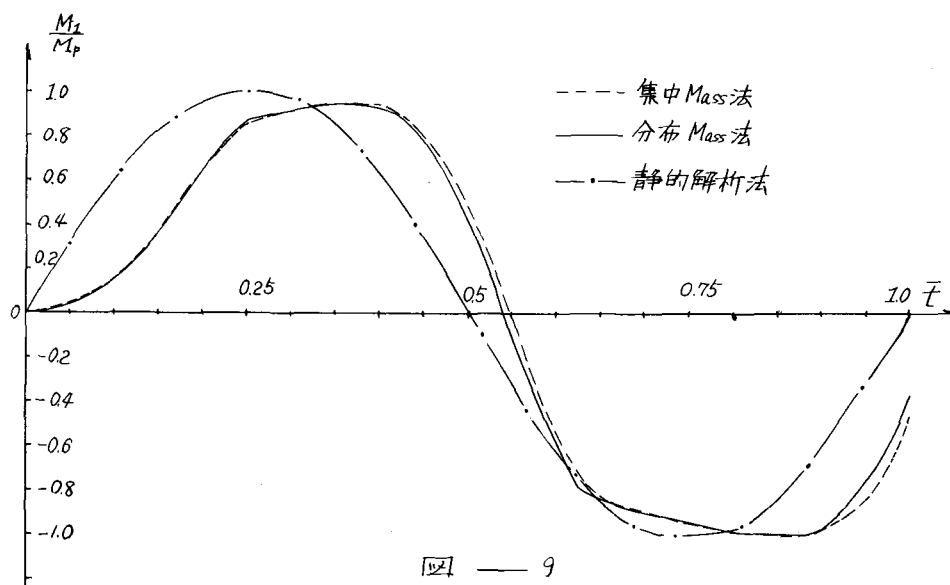


図-9

7. 結論

著者は、本論文において分布Massの概念を導入し、かつ bilinear 型の応力-ひずみ曲線に基づいたはりの動的弾塑性解析、いわゆる連続体の非線型曲げ振動

解析理論の確立に成功した。

本法の特色は、任意形状断面のほりに適用できること、文献(2)で著者が示した方法によって初期残留応力を有する場合の動的解析も可能であること、さらには、不静定構造物にも拡張応用できることなど、その一般性と厳密性にあると云える。

また、本計算結果において明らかにされた諸点を要約すれば次のとおりである。

- (1) たわみを推定する3つの方法 すなわち、線型加速度法と Milns Method ならびに差分法のうち、収束性が最も良いのは、線型加速度法であり最も悪いのは、差分法である、特に後者は、時間間隔のとり方において塑性たわみが全く異って算出されるので注意を要する。
- (2) 集中 Mass 法による誤差は、分割数が $n=4$ 程度の片持ばりでは、たわみ誤差は 1 cycle で18%となり、cycle の増加によって累積される。
- (3) 静的くり返(荷重と動的な場合との差は、振中に閉じては、さほど大きくはないが、周期のずれと、たわみ形の相違が著しい。
- (4) 動的塑性たわみに及ぼす歪硬化の影響は極めて大きい。
などが挙げられる。

なお、本研究に当っては、九州大学小坪教授、福岡大学黒木助教授の示唆を受けること大である。また、本研究は、文部省科学研究費の援助を受けた。ここに記して謝意を表す。

8. 参考文献

- (1) T. Ohta and T. Yamasaki : *Elasto-Plastic Analysis of Steel Structures Considering the Effects of Residual Stress and Finite Deformation*, Proc. of JSCE, No. 194, Oct. 1971
- (2) 渡辺 : 軟鋼の動的弾塑性復元力特性, 土木学会論文報告集, No. 182, Oct. 1970
- (3) 山崎, 太田, 石川 : 補正エネルギー法による直線材構造物の弾塑性解析, 土木学会論文集, 亦 134号, 昭和41年10月
- (4) 日本鋼構協 : 建築物の動的解析, 彰国社
田治見 宏 : 建築振動学, コロナ社
- (5) A.A. Exonin, M.L. Baron and H. Bleich : *Dynamic Elasto-Plastic Analysis of Structures*, Trans. of the ASCE, Vol. 127, Part I, 1962
- (6) M.G. Salvadori and P. Weidlinger : *On the Dynamic Strength of Rigid-Plastic Beams Under Blast Loads*, Proc. of the ASCE, Vol. 83, EM.4, Octo. 1957
- (7) A.C. Heidbrecht, J.F. Fleming and S.G. Lee : *Dynamic Analysis of Inelastic Multi-Degree Systems*, Proc. of the ASCE, Vol. 89, EM.6, Decemb. 1963
- (8) A. Çakiroğlu and G. Özgen : *Numerical-Integration of Forced-Vibration Equations*, Proc. of the ASCE, Vol. 94, EM.3, June 1968